



LB 9002

Vista parcial de conglomerados de cantos de cuarzo existentes en los materiales del C.E.G. del Precámbrico Superior.



LB 9003

Detalle de la foto anterior



LB 9004

Vista parcial de afloramiento de conglomerados del C. E.G., con cantos elongados (Precámbrico Superior).

del Diccionario Interdisciplinario  
de Geología (1995)



LB 9005

Detalle de cantos elipsoïdales dispuestos con el eje mayor paralelo al plano  $S_1$  (Precámbrico Superior).



LB 9006 Detalle de pizarras y cuarcitas del Ordovícico Inferior.  
Observese la existencia de pistas horizontales (1).



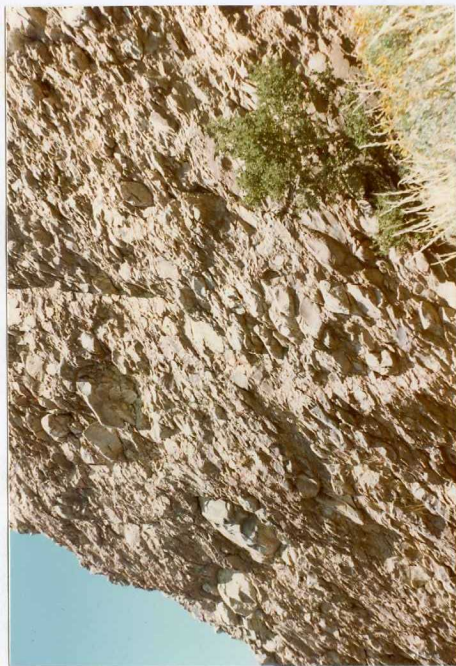
LB 9007

Panorámica del Alto de la Silleta

- Pizarras, areniscas y cuarcitas (1). Ordovícico Inf.
- Conglomerados (2). Ordovícico Inf.
- Cuarcita armoricana (3). Ordovícico Inf.

LB 9008

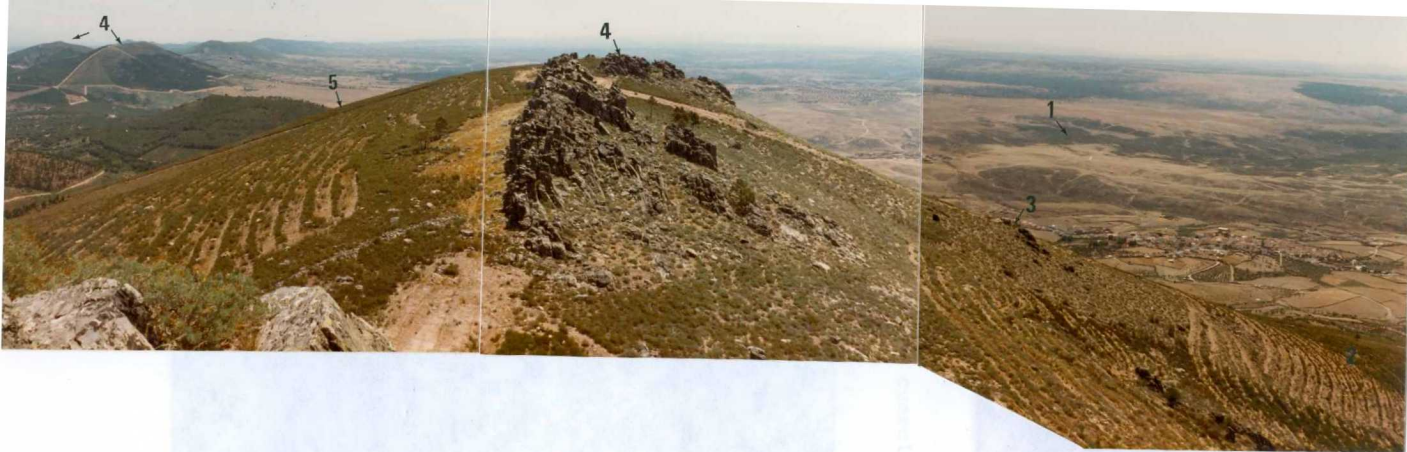
Vista parcial de conglomerados (19), elongados según los planos S<sub>1</sub>.





LB 9009

Detalle de la foto anterior.



LB 9010

Panorámica de la Sierra de Cañaveral. Corresponde al flanco Sur invertido del Sinclinal de Cañaveral.

- C.E.G. Precámbrico Superior (1)
- Pizarras, areniscas y cuarcitas. Ordovícico Inf. (2)
- Conglomerados. Ordovícico Inf. (3)
- Cuarcita armoricana. Ordovícico Inf. (4)
- Pizarras con intercalaciones de cuarcitas: Ordovícico Medio (5)



LB 9011

Detalle de afloramientos cuarcíticos del Ordovícico Inf. (11)



LB 9012

Repliegues en materiales cuarcíticos y pizarrosos del techo del Ordovícico Inf. (11), en la C.N. 630 en el Puerto de Los Castaños. El eje axial del Sinclinal se encuentra - hacia la derecha, fuera de la foto.



LB 9013

## Panorámica del Sinclinal de Cañaveral en la zona de Portezuelo.



LB 9014

Panorámica en el Cerro Castillejo

- Cuarcita americana (1). Ordovícico Inf.
- Pizarras con intercalaciones cuarcíticas (2). Ordovícico Med.
- Cuarcitas (3). Ordovícico Medio-Sup.



LB 9015

Detalle de pizarras con intercalaciones de cuarcitas (11)  
Ordovícico Medio.



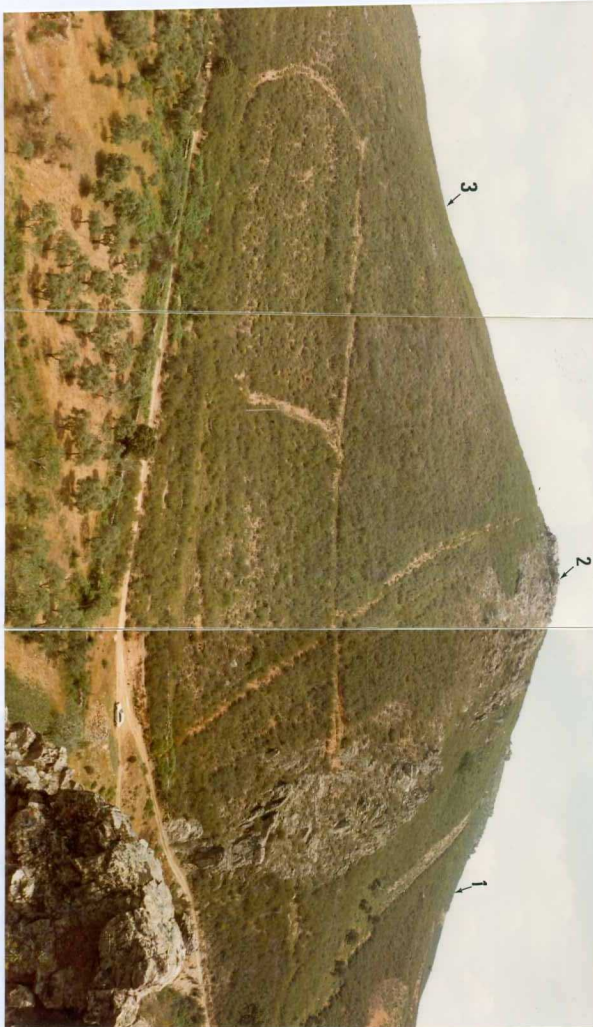
LB 9016

Detalle de cuarcitas (13), del Ordovícico Medio-Superior

LB 9017

Panorámica de la Sierra de Santa Catalina

- C.E.G. Precámbrico Sup. (1)
- Cuarcita armónica. Ordovícico Inf. (2)
- Pizarras con intercalaciones de cuarcitas. Ordovícico Medio (3)





LB 9018

Panorámica de los depósitos terciarios asociados a la falla de dirección N 40° E (17). (Alentejo-Plasencia).



LB9019

Vista parcial de los sedimentos de la foto anterior.

LB 9020

Detalle de los niveles de la foto anterior, en donde se observa una cierta gradación e imbricación de cantos (17)





LB 9021

Detalle de un bloque redondeado de conglomerado precedente del Alto de la Silla y perteneciente a los depósitos terciarios de la Cuenca de Coria (15).



LB 9022

Panorámica de depósitos plio-cuaternarios tipo "raña" (1)  
y glacis de cobertura (2).



LB 9023

Detalle de los glacis de cobertura (28) de la foto anterior.



LB 9024

Panorámica de la Sierra de Marimorena

- Flanco Sur invertido del Sinclinal de Cañaveral (1)
- Coluvión (2)
- Glacis (3)
- C.E.G. (4)

LB 9025

Detalle de los materiales del glacis de la foto anterior



LB 9026

Detalle de cantos  
cuarcíticos de los  
depósitos de colu-  
vión de la foto 9024.



LB 9027

Panorámica de uno de los niveles de terraza del río Tajo.





LB 9028

Detalle de canturral cuarcítico de la foto anterior.



LB 9029

Panorámica de diversas superficies de glacis (1), (2) y (3), al Sureste de Portezuelo.



LB 9030

Explotación abandonada de cuarcitas (11), en zona de falla  
del puerto de Los Castaños.



LB 9031

Panorámica del dique diabásico del relleno de la Falla de  
Alentejo-Plasencia (4).



LB 9032

Detalle de disyunción bolar de diabasas (4).



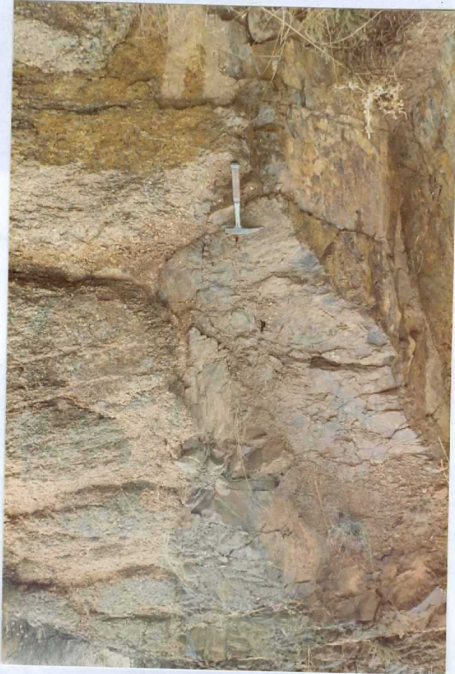
LB 9033

Vista parcial de los filones póstumos intruídos en las diabasas de la foto anterior.



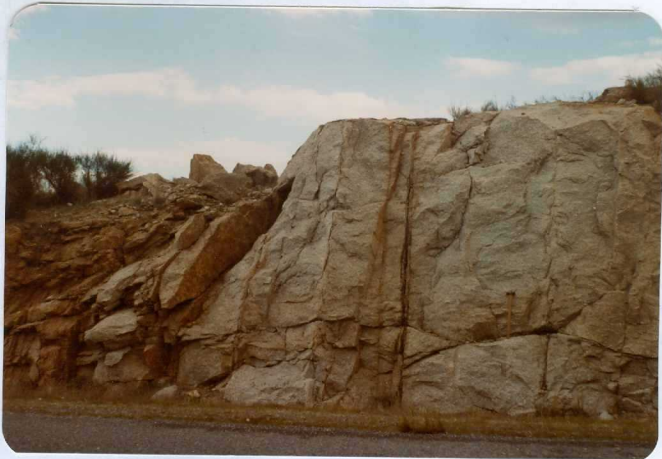
LB 9034

Vista parcial de filón de lamprofido intruído en los granos  
tos biotíticos-moscovíticos con megacristales feldespáticos  
(5)



LB 9035

Vista parcial del contacto entre las facies graníticas de megacristales feldespáticos (5) y los materiales del meta\_morfismo de contacto (1) en la C.N. 630.



LB 9036

Panorámica de granitos brotíticos-moscovíticos con megacris-  
tales feldespáticos (5) en la C.C. a Garrovillas.

LB 9037

Detalle de los grani  
tos de la foto ante-  
rior.





LB 9038

Vista parcial del contacto entre los microgranitos granatíferos con megacristales feldespáticos (6) y las rocas del metamorfismo de contacto (1)



LB 9039

Detalle de las facies graníticas de la foto anterior



LB 9040

Panorámica de los granitos de Acim. (1).

Antigua explotación de un dique con mineralizaciones de estaño.



LB 9041

Detalle de los granitos moscovíticos turmaliníferos (7)  
de la foto anterior.



LB 9042

Vista parcial de "Tors" sobre zona de alteración con bolos  
en las facies de microgranitos con megacristales feldespáticos



LB 9043

Contacto entre las arcósas de la Cuenca de Talaván-Torrejón el Rubio y los depósitos de la "superficie de divisoria". Observese la alteración por hidromorfía en dicho contacto.